

# ХИМИЧЕСКАЯ ПРОМЫШЛЕННОСТЬ

ЕЖЕМЕСЯЧНЫЙ НАУЧНО-ТЕХНИЧЕСКИЙ ЖУРНАЛ

ОРГАН МИНИСТЕРСТВА ХИМИЧЕСКОЙ ПРОМЫШЛЕННОСТИ СССР

1

1976

ИЗДАЕТСЯ  
С 1924 Г.

## СОДЕРЖАНИЕ

Гродненские химики в борьбе за повышение качества продукции — Г. И. Соловьев . . . . .

3

### Химия и технология органических производств

Выбор оптимальной схемы ректификации метанола-сырца, получаемого на низкотемпературном катализаторе — Е. Т. Шепелев, А. Д. Хайтун, Н. А. Кочергин,

Л. С. Жулеева, А. И. Лунина . . . . .

8

Синтез 4,4-диметил-1,3-диоксана на основе изобутилена и высококонцентрированного газообразного формальдегида — С. К. Огородников, Г. С. Идлис . . .

11

Получение три(триметилсилокси)винилсилана гетерофункциональной конденсацией винилтриэтиоксисилана и триметилацетоксисилана — В. И. Иванов, А. Г. Кузнецова, Б. В. Грязнов, Г. В. Замбровская, В. Н. Монастырский . . . . .

14

Взаимная растворимость и фазовое равновесие жидкость — жидкость в системах жирные спирты — вода — метanol — Н. А. Лебединская, Н. А. Филиппов, П. Н. Молосердов, В. И. Заяц, Л. А. Серафимов

16

Макрокинетические закономерности радиационного хлорирования бензола в растворителе — В. И. Косоротов, Б. Я. Стуль, В. В. Коваль, А. Ф. Колесниченко, Р. В. Джагацапян, И. З. Резниченко

18

Очистка сточных вод от хлорбензола методом обратного осмоса — Л. В. Корнева, Ю. А. Авдонин, В. М. Олевский . . . . .

21

Корреляционный анализ влияния молекулярной структуры горючего на нижние пределы взрывоемости паро-газо-воздушных смесей — С. Н. Осипов . . .

23

Температуры самовоспламенения ароматических кислот — Л. В. Новикова, Б. Г. Пискунов, М. А. Гликин

26

### Химия и технология неорганических производств

Производство двойного гранулированного суперфосфата с добавками бора и молибдена — Г. Я. Трубицина, Б. И. Шрамбан, Е. М. Павлова, В. И. Голубева, В. И. Шестаков, И. К. Калманович . . . . .

29

Получение концентрированных фосфорнокислых растворов — И. И. Орехов, В. П. Свердлова, Г. Л. Слободкина, Т. Б. Копылева . . . . .

30

Проектирование химико-технологических систем и управление ими на примере реакторного блока сернокислотного производства — В. В. Кафаров, В. П. Плютто, В. В. Золотарев, А. Шалговиц

31

Планирование промышленного эксперимента в цехе амиачной селитры — А. А. Вольберг, С. Г. Широков, Ю. П. Адлер, А. А. Князев, В. С. Гавриленко, Б. А. Дергачев, И. Я. Азбель, М. П. Лаврова . . . . .

33

Поиск оптимального технологического режима производства кальцинированной соды и поташа из нефелинов — Е. Л. Кричевская, В. Д. Гогунский, М. Л. Варламов, А. С. Романец, М. П. Трунов

Адсорбционный метод разделения воздуха — Ю. И. Шумяцкий, И. Д. Крылов, Н. С. Торочешников, В. И. Ермаков, И. Н. Каменчук . . . . .

Активность катализаторов серии АПК — С. И. Брязгина . . . . .

Влияние добавок хромовых солей в электролите на технологические показатели хлоратных электролизеров — В. И. Эбериль, Л. М. Елина, Р. А. Агапова, Ю. В. Добров, М. Б. Панченко, В. И. Колягин . . . . .

Коррозионная стойкость металлических и неметаллических материалов в технологических средах производства карбомамфоски — В. А. Фишман, А. Р. Ефимова, В. В. Добролюбов, И. И. Паталах, В. И. Грабыникова, Г. В. Федоренко . . . . .

44

### Процессы и аппараты химической технологии

Кристаллизация перегретого расплава на охлаждаемых поверхностях — Н. И. Гельперин, Г. А. Носов, В. Д. Пароконный . . . . .

45

Расчет профиля реактора для гомогенных плазмохимических процессов — В. Д. Пархоменко, В. И. Зражевский, Б. И. Мельников, П. И. Сорока . . . . .

49

Исследование массообменной способности аппарата с вертикальными контактными решетками — Э. Я. Тарат, Н. П. Болгов, В. В. Сахаров, Л. И. Майлибаева, Н. М. Соколов . . . . .

52

Вероятностные характеристики промышленных экстракторов фосфорной кислоты — В. Б. Земельман . . . . .

54

Аэрозольный унифицированный клапан — Д. И. Дехтар, И. Е. Кузьменко . . . . .

56

### Автоматизированные системы управления химическими производствами

Создание автоматизированной системы проектирования в химической промышленности — И. Д. Зайцев . . . . .

59

### Экономика химических производств

Повышение квалификации и эффективность труда руководителей и специалистов — В. В. Журавлев, Л. И. Гольдин . . . . .

66

### Краткие сообщения

### Хроника

## CONTENTS

Effort of chemists at the Grodno works to raise the quality of products — G. I. Solovev . . . . .

### ORGANIC PROCESSES AND TECHNOLOGY

Selection of an optimal route for distilling crude methanol obtained over a catalyst at low temperature — E. T. Shepelev, A. D. Khaitun, N. A. Kochergin, L. S. Zhuleva, A. I. Lunina . . . . .

Synthesis of 4,4-dimethyl-1,3-dioxane from isobutylene and highly concentrated gaseous formaldehyde — S. K. Ogorodnikov, G. S. Idlis . . . . .

Synthesis of tris(trimethylxyloxy)vinylsilane via heterofunctional condensation of vinyltriethoxysilane and trimethylacetoxysilane — V. I. Ivanov, A. G. Kuznetsova, B. V. Gryaznov, G. V. Zamborskaya, V. N. Monastyrsky . . . . .

Mutual solubility and liquid-liquid phase equilibrium in fatty alcohols-water-methanol systems — N. A. Lebedinskaya, N. A. Filippov, P. N. Miloserdov, V. I. Zayats, L. A. Serafimov . . . . .

Macrokinetic characteristics of radiation-induced chlorination of benzene in a solvent — V. I. Kosorotov, B. Ya. Stul, V. V. Koval, A. F. Kolesnichenko, R. V. Dzhagatspanyan, I. Z. Reznichenko . . . . .

Use of the reverse osmosis method for purifying waste waters from the production of chlorobenzene — L. V. Korneva, Yu. A. Avdonin, V. M. Oleksy . . . . .

Correlational analysis of the effect of molecular structure of a fuel on the lower limits of explosiveness of vapor-gas-air mixtures — S. N. Osipov . . . . .

Spontaneous ignition temperature of aromatic acids — L. V. Novikova, B. G. Piskunov, M. A. Glikin . . . . .

### INORGANIC PROCESSES AND TECHNOLOGY

Production of double granulated superphosphate containing boron and molybdenum — G. Ya. Trubitsina, B. I. Shamban, E. M. Pavlova, V. I. Golubeva, V. I. Shestakov, I. K. Kalmanovich . . . . .

Preparation of concentrated phosphoroacidic solutions — I. I. Orekhov, V. P. Sverdlova, G. L. Slobodkina, T. V. Kopyleva . . . . .

Designing of chemical-technological systems and their control using as a model the reactor unit used in the production of sulfuric acid — V. V. Kafarov, V. P. Plyutto, V. V. Zolotarev, A. Shalgovich . . . . .

Planning an industrial-scale experiment in a plant producing ammonium nitrate — A. A. Volberg, S. G. Shirokov, Yu. P. Adler, A. A. Knyazev, V. S. Gavrilenko, B. A. Dergachev, I. Ya. Azbel, M. P. Lavrova . . . . .

3	Selection of optimal technological conditions for the production of soda ash and potassium carbonate from the nephelite — E. L. Krichevskaya, V. D. Gogunsky, M. L. Varlamov, A. S. Romanets, M. P. Trunov . . . . .	35
8	Adsorption method for the separation of air — Yu. I. Shumyatsky, I. D. Krylov, N. S. Torocheshnikov, V. I. Ermakov, I. N. Kamenchuk . . . . .	39
11	Activity of catalysts of the APK series — S. I. Bryazgina . . . . .	41
14	Effect of addition of chromic salts to the electrolyte on the technological parameters of chlorate electrolytic cells — V. I. Eberil, L. M. Elina, R. A. Agapova, Yu. V. Dobrov, M. B. Panchenko, V. I. Koryagin . . . . .	42
16	Corrosion resistance of metallic and nonmetallic materials used in the production of carboamorphos — V. A. Fishman, A. R. Efimova, V. V. Dobrolyubov, I. I. Patalakh, V. I. Grabylnikova, G. V. Fedorenko . . . . .	44
18		
21		
23		
26		

### PROCESSES AND APPARATUS

16	Crystallization of a superheated melt on cooled surfaces — N. I. Gelperin, G. A. Nosov, V. D. Parokonnyi . . . . .	45
18	Calculation of the parameters of a reactor designed for homogeneous plasmochemical processes — V. D. Parkhomenko, V. I. Zrazhevsky, B. I. Melnikov, P. I. Soroka . . . . .	49
21	An investigation of the mass transfer ability of an apparatus with contact grid — E. Ya. Tarat, N. P. Bolgov, V. V. Sakharov, L. I. Mailibaeva, N. M. Sokolov . . . . .	52
23	Probability characteristics of industrial extractors for phosphoric acid — V. B. Zemelman . . . . .	54
26	A standardized aerosol valve — D. I. Dekhiyar, I. E. Kuzmenko . . . . .	56

### AUTOMATED SYSTEMS IN MANAGEMENT AND PROCESS CONTROL

29	Setting up of an automated system for designing in the chemical industry — I. D. Zaitsev . . . . .	59
----	--	----

### ECONOMIC ASPECTS OF THE CHEMICAL INDUSTRY

30	Updating of skills of managerial and engineering personnel and their labor productivity — V. V. Zhuravlev, L. I. Goldin . . . . .	66
----	---	----

### SHORT COMMUNICATIONS

### NEWS ITEMS

# Поиск оптимального технологического режима производства кальцинированной соды и поташа из нефелинов

Е. Л. КРИЧЕВСКАЯ, В. Д. ГОГУНСКИЙ, М. Л. ВАРЛАМОВ,  
А. С. РОМАНЕЦ, М. П. ТРУНОВ

В настоящее время все большее значение приобретает производство кальцинированной соды и поташа при комплексной переработке нефелинов. Образующиеся в производстве глинозема карбонатные щелока, содержащие ионы  $\text{Na}^+$ ,  $\text{K}^+$ ,  $\text{CO}_3^{2-}$ ,  $\text{SO}_4^{2-}$  и  $\text{Cl}^-$ , поступают в содовый цех, где их перерабатывают на соду, поташ, сульфат и хлорид калия [1]. Последние два продукта получают в относительно небольших количествах. На каждой стадии полигидратического разделения из раствора выделяют один из основных компонентов.

На рис. 1 приведен один из вариантов структурно-технологической схемы содового цеха. Соду выделяют в две стадии с промежуточной кристаллизацией сульфата калия. Затем из системы выводят хлорид калия и поташ. Двойную соль  $\text{KNaCO}_3$  возвращают в процесс. Кроме внешнего цикла двойной соли существует внутренний рецикл маточного раствора. Наличие рециклов создает положительные обратные связи, значительно усложняющие управление производством. Количество и состав исходных щелоков, поступающих из производства глинозема, зависят от применяемого сырья, топлива и работы предыдущих звеньев. В соответствии с этим может изменяться оптимальный по экономическим показателям технологический режим.

В качестве целевой функции управления цехом принята величина

$$E = \sum_{i=1}^n R_i - \sum_{j=1}^m S_j \quad (1)$$

представляющая собой разность между суммарной стоимостью произведенной продукции  $\sum_{i=1}^n R_i$  и переменной частью технологических затрат  $\sum_{j=1}^m S_j$ , зависящую

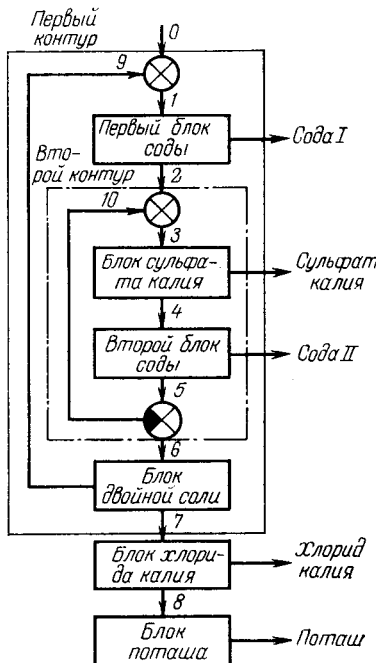


Рис. 1. Структурная схема содового цеха.

щей от технологического режима [1—5]. Критерием оптимизации процесса является достижение максимального значения целевой функции  $E$ .

Для определения  $E$  необходимо рассчитать составы и количества получаемых продуктов, а также воды, испаряемой на каждой стадии производства. При поиске оптимального режима эти расчеты выполняли на основе разработанного авторами математического описания статики разделения многокомпонентной солевой системы [2, 3].

При системном подходе к моделированию все стадии процесса могут быть представлены как самостоятельные аппаратурно-технологические блоки (АТБ), каждый из которых включает совокупность ряда процессов: выпарки или вакуум-кристаллизации, отстаивания, центрифугирования, промывки и сушки [3]. Отличие АТБ как объектов моделирования состоит лишь в том, что на каждой конкретной стадии необходимо моделировать выделение из растворов различных основных компонентов. Возможность кристаллизации из растворов соответствующих солей определяется физико-химическими особенностями солевой системы; поэтому процессы разделения моделируют, используя диаграммы состояния. Представление границ полей кристаллизации взаимных систем  $\text{Na}^+$ ,  $\text{K}^+$  ||  $\text{CO}_3^{2-}$ ,  $\text{SO}_4^{2-}$  +  $\text{H}_2\text{O}$  и  $\text{Na}^+$ ,  $\text{K}^+$  ||  $\text{CO}_3^{2-}$ ,  $\text{Cl}^-$  +  $\text{H}_2\text{O}$  в виде полиномов [5] позволяет формализовать методику определения качественного и количественного составов выпадающих осадков.

Математическая модель статики процесса в целом получена путем сочетания типовых АТБ и простых блоков смешения и разделения. Число степеней свободы  $F$  равно сумме степеней свободы всех блоков (основных АТБ и дополнительных) за вычетом числа переменных, повторяющихся дважды при сочетании блоков

$$F = \sum_{i=1}^n F_i - k(n+z-1) \quad (2)$$

где  $n$  — общее число блоков;  $z$  — число рециклов;  $k$  — максимальное число компонентов в потоках.

Число степеней свободы любого объекта характеризуется разностью между числом переменных, описывающих процесс, и числом связывающих их уравнений.

Для типового АТБ число степеней свободы равно

$$F_{\text{ATB}} = (3k+2) - 2k = k+2 \quad (3)$$

где  $3k+2$  — число переменных;  $2k$  — число уравнений материальных балансов по компонентам и уравнений равновесия.

Детальное описание АТБ приведено в работе [3]. При расчете АТБ должны быть заданы  $(k+2)$  исходных параметра; ими могут быть количество компонентов на входе или выходе, температура и один из параметров, характеризующий глубину процесса кристаллизации (например, плотность упаренного раствора, температурная депрессия, индекс по калию, степень достижения границы поля кристаллизации [3] либо степень выделения основного компонента и т. п.). Все эти показатели отражают процесс кристаллизации и связаны между собой функционально [6—8].

При описании блока смешения  $3k$  переменных входят в  $k$  уравнений материального баланса. В этом случае число степеней свободы рассчитывают по формуле

$$F_{cm} = 3k - k = 2k \quad (4)$$

Число степеней свободы блока разделения равно

$$F_p = 3k - (2k - 1) = k + 1 \quad (5)$$

так как  $3k$  переменных связаны  $k$  уравнениями материального баланса и  $(k - 1)$  соотношениями компонентов в разделяемых потоках.

Принимая во внимание, что  $z = n_{cm}$ , получим из уравнений (2)–(5):

$$F = k + 2n_{ATB} + n_p \quad (6)$$

где  $n_{ATB}$ ,  $n_{cm}$ ,  $n_p$  — число АТБ, блоков смешения и разделения в структурной технологической схеме. Если температурный режим процесса разделения задан, то число степеней свободы

$$F_t = k + n_{ATB} + n_p = k + n - z \quad (7)$$

Количество и состав исходного раствора не зависят от технологического режима моделируемого объекта, а определяются работой предыдущего цеха и свойствами сырья. Таким образом, количества компонентов в исходном растворе известны. В этом случае число степеней свободы определяется разностью между общим числом всех блоков и числом рециклов. Для схемы, изображенной на рис. 1

$$F_{t,k} = n - z = 9 - 2 = 7 \quad (8)$$

Эта величина характеризует число независимых параметров процесса, от которых зависит распределение компонентов между видами продукции и технологические затраты на их получение. При этом следует отметить, что выбор независимых переменных определяет способ решения уравнений материального баланса сложной химико-технологической схемы и возможность непосредственной проверки ограничений, накладываемых на процесс. Так, например, глубину процесса кристаллизации при упаривании растворов можно характеризовать степенью достижения границы поля кристаллизации  $\eta$ , конечным значением индекса по калию  $K$ , плотностью маточного раствора  $\rho$  и т. д.

Однако, в то время как величина  $\eta$  позволяет сразу проверить ограничения (нахождение фигуративной точки маточника внутри поля кристаллизации выделяемой соли), выбор в качестве независимого параметра  $K$  или  $\rho$  не дает прямого ответа на этот вопрос и требует проведения дополнительных расчетов на каждом шаге поиска оптимального режима. Для данного состава исходного раствора каждой комбинации значений независимых переменных соответствует определенная совокупность управляющих параметров, которые могут контролироваться в процессе производства (плотность, состав раствора, расход и некоторые другие) и использоваться для автоматического регулирования.

Для рассматриваемой схемы (см. рис. 1) выбраны следующие независимые переменные:  $\eta_2$ ,  $\eta_8$ ,  $\eta_{II}$  — степень достижения границы поля кристаллизации в АТБ соответственно соды I, хлорида калия и поташа;  $K_4$ ,  $S_4$  — индексы по  $K^+$  и  $SO_4^{2-}$  в маточнике АТБ сульфата калия;  $K_5$  — индекс по  $K^+$  на выходе из АТБ соды II;  $Cl_9$  — индекс по  $Cl^-$  в осадке двойной соли. Условие упаривания поташа «досуха» —  $\eta_{II} = \text{max}$ .

Расчет стационарного режима проведен с использованием методов структурного анализа сложных

технологических схем [8] и особенностей процесса разделения. В рассматриваемой схеме могут быть выделены два контура (см. рис. 1). Первый включает всю соловую ветвь схемы, второй контур — АТБ сульфата калия и соды II. Контуры рассчитывают методом итераций. Для выбора начального приближения при расчете первого контура учитывают, что хлорид калия и поташ выводят из АТБ, входящих в этот контур, в незначительных количествах только с удержаными маточниками. Поэтому в первом приближении количества  $KCl$  и  $K_2CO_3$  в маточнике АТБ двойной соли на выходе из первого контура могут быть приняты равными количествам этих компонентов в исходном растворе.

Исходя из начальных количеств  $KCl$  и  $K_2CO_3$  и уравнений границ полей кристаллизации, на которых заканчивается процесс в АТБ двойной соли, рассчитывают потоки по каждому компоненту в точке 7; совокупность их в дальнейшем будем именовать поток 7.

Принимая во внимание, что  $S_5/S_4 = K_5/K_4$ , при заданных значениях  $K_5$  и  $Cl_9$  рассчитывают АТБ двойной соли и определяют потоки 9 и 6. Далее рассчитывают АТБ соды I. Исходя из величин потоков 2 и 6 на входе и выходе второго контура, вычисляют коэффициент циркуляции оборотного маточника соды II, характеризующий соотношение потоков 10 и 6.

Циркуляция должна обеспечивать соответствие состава маточника АТБ сульфата калия заданным параметрам  $K_4$  и  $S_4$ . Рассчитываем АТБ сульфата калия и соды II. Уточняем поток 6 и коэффициент циркуляции оборотного маточника  $L$ . Расчет второго контура, входящего в качестве составной части в первый, заканчивается при выполнении на  $j$ -й итерации условия

$$\left| \frac{L_j - L_{j-1}}{L_j} \right| < \xi_0 \quad (9)$$

где  $\xi_0$  — допустимая относительная погрешность расчета (в настоящей работе принято  $\xi_0 = 10^{-4}$ ).

Далее рассчитывают АТБ двойной соли на основе уточненного потока 6 и проверяют соответствие принятых количеств  $G_{KCl}$  и  $G_{K_2CO_3}$  в маточнике АТБ двойной соли на выходе из первого контура:

$$\xi_1 = \left| \frac{G_{KCl}^i - G_{KCl}^{i-1}}{G_{KCl}^i} \right| < \xi_0 \quad (10)$$

$$\xi_2 = \left| \frac{G_{K_2CO_3}^i - G_{K_2CO_3}^{i-1}}{G_{K_2CO_3}^i} \right| < \xi_0 \quad (11)$$

где  $\xi_0$  — допустимое относительное расхождение баланса;  $i$  — номер итерации при расчете первого контура.

Если условия (10) и (11) не удовлетворяются, расчет повторяют. После расчета первого контура определяют потоки АТБ хлорида калия и поташа.

Итерационные расчеты дают хорошую сходимость. Значения  $\xi_1$ ,  $\xi_2 < 10^{-4}$  достигаются уже после шестой итерации, а  $\xi_1$ ,  $\xi_2 < 10^{-5}$  — после восьмой итерации. При этом изменение исходных данных и

значений независимых переменных практически не влияют на сходимость.

Затраты машинного времени на выполнение одного варианта расчета в значительной мере зависят от величины  $\xi_0$ . Для выбора допустимого значения  $\xi_0$  определено влияние его на целевую функцию  $E$ . Результаты расчетов, проведенных на ЭВМ «Найри-2» при одинаковых значениях независимых переменных для постоянного состава исходного раствора, приведены в табл. 1. Значения  $E$  даны в рублях на 100 молей сухих солей исходного раствора.

Таблица 1

$\xi_0$	$E$ , руб/100 моль	Время счета, мин
$1 \cdot 10^{-3}$	522,770	0,1
$1 \cdot 10^{-4}$	522,865	0,5
$1 \cdot 10^{-5}$	522,870	6,0
$0,5 \cdot 10^{-7}$	522,871	43
$0,5 \cdot 10^{-8}$	522,871	60

Как видно из таблицы, относительное расхождение баланса  $\xi_0 = 1 \cdot 10^{-4}$  может быть принято в качестве допустимого; дальнейшее уточнение расчетов изменяет целевую функцию  $E$  менее чем на 0,001 %, время расчета при этом существенно возрастает.

Для определения чувствительности целевой функции  $E$  и переменной части технологических затрат к изменению независимых параметров проведено несколько серий расчетов технологических режимов, в каждой из которых изменяли один параметр. В качестве базового принят режим:  $\eta_2 = 0,8$ ,  $K_4 = 50$ ,  $S_4 = 1$ ,  $K_5 = 58$ ,  $Cl_9 = 3$ ,  $\eta_8 = 1$ ,  $\eta_{\text{пп}} = \text{max}$ . Результаты расчетов приведены на рис. 2 и 3, где изменения параметров указаны в нормализованном виде:

$$y_j = \frac{x_j - x_{j,\text{min}}}{x_{j,\text{max}} - x_{j,\text{min}}} \quad (12)$$

где  $x_j$  — текущее значение  $j$ -го параметра для интервалов варьирования, соответствующих возможным

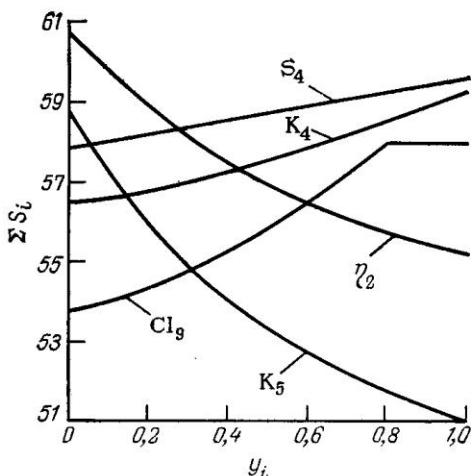


Рис. 2. Влияние независимых переменных на переменную часть технологических затрат.

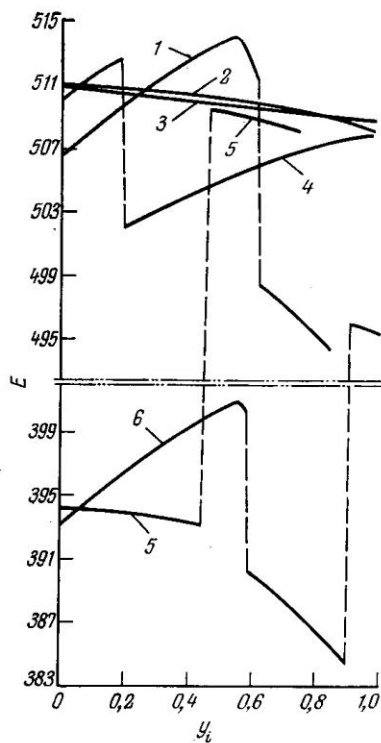


Рис. 3. Влияние независимых переменных на целевую функцию: 1 —  $E=E(\eta_2)$ ; 2 —  $E=E(K_4)$ ; 3 —  $E=E(S_4)$ ; 4 —  $E=E(K_5)$ ; 5 —  $E=E(Cl_9)$ ; 6 —  $E=E(\eta_2)$

колебаниям технологического режима:  $0,8 \leq \eta_2 \leq 1,15$ ;  $48,0 \leq K_4 \leq 52,0$ ;  $0,7 \leq S_4 \leq 1,2$ ;  $58,0 \leq K_5 \leq 63,5$ ;  $0 \leq Cl_9 \leq 5,0$ .

Как видно из рис. 2, наибольшее влияние на переменную часть затрат оказывают параметры  $K_5$  и  $\eta_2$ . С увеличением  $K_5$  уменьшается количество циркулирующей двойной соли. При возрастании  $\eta_2$  происходит перераспределение количества воды, упариваемой в производстве соды I и II, так как выделяется больше соды I. Влияние остальных параметров на переменные затраты менее существенно.

Характер зависимости целевой функции от независимых переменных более сложный. На кривых 1, 4—6 (см. рис. 3) обнаруживаются разрывы, соответствующие переходу продуктов из одного сорта в другой. Разрыв при изменении  $K_5$  происходит за счет перехода соды II из первого во второй сорт, причем в точке срыва уменьшение целевой функции составляет  $\Delta E = 10,5$  руб. на 100 молей исходного раствора. Еще более ощутим переход в нестандартный поташ (кривая 5); в точке срыва  $\Delta E = 117,7$  руб. на 100 молей исходного раствора.

Для получения поташа второго сорта необходимо обеспечить определенное соотношение компонентов  $G_{KCl}/G_{K_2CO_3}$  в маточнике двойной соли. При любом составе исходного раствора необходимого соотношения можно добиться путем изменения  $Cl_9$  (кривая 5). При увеличении содержания хлоридов в циркулирующей двойной соли больше хлоридов выводится с продуктами первого контура, в результате уменьшается  $G_{KCl}$ .

На кривой 1 имеется максимум в окрестности  $\eta_2 = 1$ . Дальнейшее увеличение  $\eta_2$  приводит к выделению в осадок примеси глазерита  $K_3Na(SO_4)_2$ , что ухудшает качество соды I и вызывает уменьшение величины  $E$ .

Если содержание хлоридов  $\text{Cl}_9$  в осадке двойной соли слишком мало для получения стандартного поташа, то на кривой I появляется еще один скачок при  $\eta_2 > 1$ , так как в результате обменной реакции выделение глазерита эквивалентно добавлению в исходный раствор поташа. Эта особенность процесса на практике не используется, так как более рационально повышать качество поташа путем увеличения  $\text{Cl}_9$ .

Проведенные расчеты позволили составить представление о характере целевой функции  $E$  и наметить пути оптимизации процесса. В приведенных на рис. 3 сечениях обнаруживаются четыре локальных экстремума, соответствующих различным сочетаниям сортов выпускаемых продуктов — соды и поташа. Потери предприятия от выпуска нестандартного поташа весьма значительны, поэтому экстремумы, соответствующие выпуску такого продукта, необходимо сразу исключить из рассмотрения.

Таким образом, оптимальный технологический режим содового цеха характеризуется одной из следующих совокупностей сортов основных продуктов: сода I и II — первый сорт, поташ — второй сорт; сода I — первый сорт, сода II и поташ — второй сорт.

Поиск локальных экстремумов осуществляют методом наискорейшего спуска. Алгоритм разработан для поиска локального экстремума на модели содового цеха с учетом ограничений, накладываемых на процесс, и разрывов целевой функции. Результаты поиска для двух составов исходных растворов приводятся в табл. 2.

Как видно из таблицы, положение глобального экстремума изменяется в зависимости от состава исходного раствора. При относительно большом содержании сульфатов (первый раствор) оптимальный режим достигается при выпуске соды I и соды II первого сорта; при уменьшении количества сульфатов (второй раствор) глобальный экстремум соответствует выпуску соды II в виде продукта второго сорта благодаря снижению переменной части технологических затрат. В обоих случаях предусмотрен выпуск поташа второго сорта. Оптимальные значения  $K_4$  и  $S_4$  соответствуют их нижней границе в области определения; три остальных параметра варьируют. Содержание хлоридов в двойной соли должно обеспечить в достаточной мере вывод части  $\text{KCl}$  с продуктами первого контура и получение поташа второго сорта.

В настоящее время действующие предприятия выпускают соду II в виде продукта второго сорта. Загрязнение соды примесями калийных солей в основном обусловлено удерживанием осадком части маточного раствора, не удаляемого полностью при центрифугировании. Для приведенных в табл. 2 составов исходных растворов индекс  $K_5 = 59,1$  определяет границу перехода соды II из первого сорта во второй, рассчитанную с учетом степени удерживания маточника. В дальнейшем эта величина должна быть уточнена ввиду дополнительного загрязнения соды, обусловленного адсорбцией ионов кристаллами  $\text{Na}_2\text{CO}_3$ , что приведет к некоторому снижению граничного значения  $K_5$ . Результаты поиска локальных экстремумов позволяют предложить алгоритмы глобального поиска оптимального технологического режима.

Поиск разделяют на два этапа. Вначале осуществляют выход в область значений управляющих параметров, обеспечивающих выпуск продукции с определенным набором сортов по критерию — минимуму рассогласования  $\Phi$  между требованиями ГОСТ и качеством получаемых продуктов, зависящим от вектора управляющих воздействий

$$\Phi = \Phi(X) = \sum_{i=1}^m \sum_{j=1}^{p_i} [(B_{ij}^- - B_{ij})^2 + (B_{ij} - B_{ij}^+)^2] \quad (13)$$

где  $B_{ij}$  — значения показателей качества продуктов, нормируемых ГОСТ;  $B_{ij}^-$ ,  $B_{ij}^+$  — требования ГОСТ для заданной совокупности сортов [(-) — ограничения снизу; (+) — ограничения сверху];  $i$  — номер продукта ( $i = 1, 2, \dots, m$ );  $j$  — номер показателя качества  $i$ -го продукта ( $j = 1, 2, \dots, p_i$ ).

После выхода в области с различными сочетаниями сортов переходят ко второму этапу — локальному поиску экстремума в каждой из областей по критерию — максимуму целевой функции управления  $E$ .

Поиск экстремума для заданных областей сортов можно также осуществлять в один этап путем введения штрафных функций, резко возрастающих при выходе за пределы области:

$$V_1 = \sum_{i=1}^m \left( \alpha_i \sum_{j=1}^{p_i} \psi_{ij}^2 \right) \quad (14)$$

$$V_2 = \sum_{i=1}^m \left( \beta_i \prod_{j=1}^{p_i} \varphi_{ij}^2 \right) \quad (15)$$

Таблица 2

Состав исходного раствора	Значения управляющих параметров при локальных экстремумах					Целевая функция $E$	Сорт			Характер экстремума
	$K_5$	$\eta_2$	$K_4$	$S_4$	$\text{Cl}_9$		соды I	соды II	поташа	
Первый раствор										
$K = 13,35, S = 3,95,$ $\text{Cl} = 0,51, \text{H}_2\text{O} = 3100$	59,1 63,5	1,0 1,0	48,0 48,0	0,7 0,7	2,28 1,99	516,74 514,13	1 1	1 2	2 2	Глобальный Локальный
Второй раствор										
$K = 13,35, S = 2,0,$ $\text{Cl} = 0,51, \text{H}_2\text{O} = 3100$	59,1 63,5	0,86 1,0	48,0 48,0	0,7 0,7	3,9 5,0	525,38 527,66	1 1	1 2	2 2	Локальный Глобальный

где  $V_1$  и  $V_2$  — штрафные функции за нарушение минимальных и максимальных требований ГОСТ;  $\alpha_{ij}$  — и  $\beta_{ij}$  — весовые коэффициенты;  $\psi_{ij}$  и  $\varphi_{ij}$  — признаки принадлежности продуктов заданному сорту, которые формируются по аналогии с работой [9]:

$$\psi_{ij} = \begin{cases} a_{ij}^- - a_{ij}, & \text{если } (a_{ij}^- - a_{ij}) \geq 0 \\ 0, & \text{если } (a_{ij}^- - a_{ij}) < 0 \end{cases}$$

$$\varphi_{ij} = \begin{cases} a_{ij} - a_{ij}^+, & \text{если } (a_{ij} - a_{ij}^+) \geq 0 \\ 0, & \text{если } (a_{ij} - a_{ij}^+) < 0 \end{cases}$$

Для основного компонента  $a_{ij} = B_{ij}$ , для примесей  $a_{ij} = 1/B_{ij}$ . В каждой области критерием оптимизации будет достижение максимума функции:

$$E_1 = E - (V_1 + V_2) \quad (16)$$

Глобальный экстремум определяем путем сопоставления максимальных значений целевой функции  $E$  (или  $E_1$ ) в разных областях.

Предложенный алгоритм глобального поиска может быть использован для любых технологических схем содовых цехов глиноземных комбинатов (в том числе и выпуск поташа первого сорта), а так-

же оптимизации других процессов в случае выпуска нескольких продуктов, сорта которых определяются технологическим режимом.

### Литература

- Романец А. С. и др. Сборник «Международный симпозиум социалистических стран по содовой промышленности», Изд. НИОХИМ, Харьков, 1971.
- Варламов М. Л. и др. «Цветные металлы», 1969, № 11, с. 32.
- Кричевская Е. Л. и др. «Цветные металлы», 1974, № 2, с. 46.
- Гогунский В. Д. Тезисы восьмой Всесоюзной конференции по технологии неорганических веществ, Одесса, 1972, с. 193.
- Манакин Г. А. и др. «Физика и Химия». Научно-технический сборник. Изд. Одесского политехнического института, Одесса, 1970, с. 48.
- Гинзбург Д. М. ЖПХ, 1965, т. 38, с. 55.
- Романец А. С., Косьмин Ю. М., Разиньков В. Я. В кн.: Средства и схемы автоматизации технологических процессов содового производства. Изд. Института технической информации, Киев, 1966, с. 49.
- Островский Г. М., Волин Ю. М. Моделирование сложных химико-технологических схем, М., «Химия», 1975, с. 311.
- Беляева А. Р., Островский Г. М., Бережинский Т. А. Автоматика и вычислительная техника, 1974, вып. 4, с. 56.

УДК 66.074.35

## Адсорбционный метод разделения воздуха

Ю. И. ШУМЯЦКИЙ, И. Д. КРЫЛОВ, Н. С. ТОРОЧЕШНИКОВ,  
В. И. ЕРМАКОВ, И. Н. КАМЕНЧУК

Основные результаты экспериментальных исследований осушки воздуха методом короткоцикловой безнагревной адсорбции приведены ранее [1—3]. Установлено, что этот метод может быть использован и для разделения воздуха при комнатной температуре [4]. В настоящей статье приведены результаты определения конкретных показателей этого интересного для практики процесса.

Опыты проводили на установке, схема которой принципиально не отличалась от схемы, описанной в работе [1]. Концентрацию кислорода в обогащенном потоке определяли химическим способом и с помощью газоанализатора МГК-6М, концентрацию влаги контролировали кулонометрическим влагоанализатором «Байкал».

Адсорбера установки были заполнены цеолитом СаА [5] с диаметром гранул  $\sim 4$  мм. Перед загрузкой в адсорбера цеолит подвергали термической регенерации при  $350^\circ\text{C}$  и продувке слоя сухим воздухом.

Опыты показали, что наличие паров воды в поступающем воздухе почти не влияет на содержание кислорода в продукте и производительность установки. Поэтому влажность исходного газа не нормировали.

Установка работала в четырехстадийном цикле: адсорбция при давлении до  $6 \text{ кгс}/\text{см}^2$  (получение обогащенного кислородом воздуха) — сброс давления — регенерация адсорбента частью обогащенного воздуха — подъем давления. Давление, расходы потоков, концентрации компонентов постоянно изменяли с частотой, равной продолжительности цикла. Таким образом, режим работы установки разделения не был стационарным. Однако параметры и показатели работы были весьма устойчивы, если рассматривать их средние за стадию значения. Например, средняя концентрация кислорода в продукте в течение 12 ч работы установки оставалась постоянной с точностью  $\pm 1\text{--}2\%$ .

В процессе эксперимента исследовали влияние длительности переходных стадий подъема и сброса давления в адсорбере на эффективность процесса. Некоторые данные, полученные при конечном давлении адсорбции  $P_a = 4 \text{ кгс}/\text{см}^2$ , конечном давлении десорбции  $P_d = 1 \text{ кгс}/\text{см}^2$ , расходе газа на регенерацию  $450 \text{ л}/\text{ч}^*$  и выходе продукта  $50 \text{ л}/\text{ч}$ , приведены в табл. 1. Продолжительность переходных стадий регулировали путем размещения в соответствующих трубопроводах шайб с различными диаметрами отверстий. Принимали, что продолжительность переходных стадий соответствует условной величине

$$\text{относительному давлению в адсорбере } P' = \frac{P - P_d}{P_a - P_d} \quad (P \text{ — текущее давление}). \text{ На стадии подъема давление } P' = 0,75, \text{ при сбросе давления } - 0,25.$$

Из таблицы видно, что воздействие на процесс оказывает только переход от регенерации адсорбента к адсорбции. Исходя из этого, можно предположить, что отрицательное влияние быстрого подъема давления объясняется «забросом» газа, богатого азотом, из адсорбента из нижних в верхние (продуцирующие) слои адсорбера. Поэтому основным параметром переходного процесса является скорость газа при подъеме давления  $V'$ , которую, однако, трудно определить экспериментально. Ее рассчитывали, используя приближенные уравнения, полученные в предположении,

\* Здесь и далее объем газа приведен к нормальным условиям.

**ВЫБОР ОПТИМАЛЬНОЙ СХЕМЫ РЕКТИФИКАЦИИ МЕТАНОЛА-СЫРЦА, ПОЛУЧАЕМОГО НА НИЗКОТЕМПЕРАТУРНОМ КАТАЛИЗАТОРЕ.** Шепелев Е. П., Хатун А. Д., Кочергин Н. А., Журова Л. С., Лунина А. И. Хим. пром., 1976 г., № 1, 8–10.

Проведено технико-экономическое сравнение девяти вариантов схем ректификации метанола-сырца, получаемого на медьсодержащем катализаторе при низком давлении и без давления, а также с использованием бросового низкотемпературного тепла, с водяным и воздушным охлаждением. Показан значительный эффект от упрощения технологии и использования бросового низкотемпературного тепла и незначительное влияние на экономические показатели способа охлаждения. Таблицы – 2, иллюстраций – 3.

УДК 661.7:547.841  
66.095.3:[661.715.334:661.727.1-911.3]

**СИНТЕЗ 4,4-ДИМЕТИЛ-1,3-ДИОКСАНА НА ОСНОВЕ ИЗОБУТИЛЕНА И ВЫСОКОКОНЦЕНТРИРОВАННОГО ГАЗООБРАЗНОГО-ФОРМАЛЬДЕГИДА.** Огородников С. К., Идлис Г. С. Хим. пром., 1976 г., № 1, 11–14.

На основании анализа кинетических данных показано что повышение селективности рассматриваемого процесса и снижение выхода высококипящих побочных продуктов может быть достигнуто путем уменьшения температуры синтеза и увеличением соотношения формальдегида: изобутилен. Наиболее полно эти рекомендации реализуются при использовании технологической схемы предусматривающей возврат отработанной формальдегидной шихты в реактор при насыщении ее до первоначальной концентрации высококонцентрированным (85–90%) газообразным формальдегидом, получаемым методом парциальной конденсации паров формалина. Применение схемы позволяет полностью ликвидировать химически загрязненные водные стоки и упростить технологию процесса. Схема проверена в опытно-промышленном масштабе. Селективность процесса возросла на 10–12%. Таблицы – 1, иллюстраций – 2, лит. ссылок – 13.

УДК 661.718.5

**ПОЛУЧЕНИЕ ТРИС(ТРИМЕТИЛСИЛОКСИ)ВИНИЛСИЛАНА ГЕТЕРОФУНКЦИОНАЛЬНОЙ КОНДЕНСАЦИЕЙ ВИНИЛТРИЭТОКСИСИЛАНА И ТРИМИЛАЦЕТОКСИСИЛАНА.** Иванов В. И., Кузнецова А. Г., Грязнов Б. В., Замбровская Г. В., Монастырский В. Н. Хим. пром., 1976 г., № 1, 14–16.

Изучалось изменение состава продуктов реакции в ходе гетерофункциональной конденсации винилтриоксилиана и триимилациетоксилиана с изменением количества катализатора – серной кислоты и температуры. Найдены зависимости скорости гетерофункциональной конденсации и побочной реакции катализитической перегруппировки от условий процесса. Показано что три(триметилсилокси)винилилилан можно получать с выходом 80–90%. Иллюстраций – 5, лит. ссылок – 4.

УДК 541.123.4:[547.265/.268.11+547.261+  
+546.212].002.612.3

**ВЗАИМНАЯ РАСТВОРИМОСТЬ И ФАЗОВОЕ РАВНОВЕСИЕ ЖИДКОСТЬ – ЖИДКОСТЬ В СИСТЕМАХ ЖИРНЫЕ СПИРТЫ – ВОДА – МЕТАНОЛ.** Лебединская Н. А., Филиппов И. А., Милосердов П. Н., Заяц В. И., Серифов Л. А. Хим. пром., 1976 г., № 1, 16–18.

Приводятся результаты по растворимости и фазовому равновесию жидкость – жидкость в системах метанол – вода – нормальные высшие жирные спирты с числом атомов углерода от 5 до 8 при 20°C. Полученные результаты по составам сосуществующих фаз обработаны по методу Оттера и Тобиаса. Определены критические точки растворимости для всех систем и приведены их состав. Таблицы – 2, иллюстраций – 4, лит. ссылок – 4.

УДК [66.094.403:66.085.3]:[661.7:547.532]

**МАКРОКИНЕТИЧЕСКИЕ ЗАКОНОМЕРНОСТИ РАДИАЦИОННОГО ХЛОРИРОВАНИЯ БЕНЗОЛА В РАСТВОРИТЕЛЕ.** Косоротов В. И., Стуль Б. Я., Коваль В. В., Колесниченко А. Ф., Драгашин Р. В., Резинченко И. З. Хим. пром., 1976 г., № 1, 18–21.

Изследовалось радиационное хлорирование бензола в хлористом метиле и 1,1,2,2-тетрахлорэтане. Показано, что мощность дозы излучения в широком интервале ее изменения (3–50 рад/с) не влияет на выход  $\gamma$ -изомера  $\text{GX}^{\gamma}\text{G}$ . Скорость реакции пропорциональна мощности дозы в степени 0,4. Показана возможность получения  $\text{GX}^{\gamma}\text{G}$  с выходом  $\gamma$ -изомера не менее 18%. Проведено сравнение радиационного процесса с фотохимическим. Иллюстраций – 3, лит. ссылок – 8.

УДК 628.54:532.71  
**ОЧИСТКА СТОЧНЫХ ВОД ОТ ХЛОРБЕНЗОЛА МЕТОДОМ ОБРАТНОГО ОСМОСА.** Корнева Л. В., Авдонин Ю. А., Олевский В. М. Хим. пром., 1976 г., № 1, 21–23.

Приводятся результаты экспериментального изучения очистки вод от хлорбензола и некоторых других органических соединений методом обратного осмоса на различных полимерных мембранных. Установлено, что лучшими являются мембранны, полученные в Д/Ф ГИАП. Они отличаются от ацетилполиэфирных и других исследованных пленок повышенной кислото- и щелочестойкостью. Пропускная способность их составляет 1–20 л/(м<sup>2</sup>·ч) при давлениях от 50 до 100 ат. Селективность по ароматическим соединениям за одну ступень фильтрации достигает 95–100%. Таблицы – 2, лит. ссылок – 6.

УДК 541.427.6.001.24  
**КОРРЕЛЯЦИОННЫЙ АНАЛИЗ ВЛИЯНИЯ МОЛЕКУЛЯРНОЙ СТРУКТУРЫ ГОРЮЧЕГО НА НИЖНИЕ ПРЕДЕЛЫ ВЗРЫВАЕМОСТИ ПАРО-ГАЗО-ВОЗДУШНЫХ СМЕСЕЙ.** Осипов С. Н. Хим. пром., 1976 г., № 1, 23–26.

Показано существование весьма сильной корреляционной связи между нижним пределом взрываемости паро-газо-воздушной смеси и составом углеводородных соединений. Для всех гомологических рядов установлена корреляционная связь с корреляционным отношением  $\eta = 0,98$  при среднеквадратичном отклонении  $\sigma = 0,035$ . Для большинства известных производных углеводородов установлена корреляционная связь с корреляционным отношением  $\eta = 0,83$ . Определяющими параметрами являются число атомов углерода и водорода в молекуле, наличие высших связей между атомами углерода, число радикалов в соединении. Иллюстраций – 3, лит. ссылок – 12.

УДК 547.583:536.468  
**ТЕМПЕРАТУРЫ САМОВОСПЛАМЕНЕНИЯ АРОМАТИЧЕСКИХ КИСЛОТ.** Никикова Л. В., Пискунов Б. Г., Гликкин М. А. Хим. пром., 1976 г., № 1, 26–28.

Определены температуры самовоспламенения азогелей и аэрозолей порошкообразных органических кислот ряда бензола. Показано, что температуры самовоспламенения пропорциональны энергии разрыва наименее прочной связи в молекуле. Даны аналитические уравнения, позволяющие рассчитывать температуры самовоспламенения исходя из энергии разрыва связей. Таблицы – 3, лит. ссылок – 13.

УДК 661.632.2  
**ПРОИЗВОДСТВО ДВОЙНОГО ГРАНУЛИРОВАННОГО СУПЕРФОСФАТА С ДОБАВКАМИ БОРА И МОЛИБДЕНА.** Трубицына Г. Я., Шрамбант Б. И., Павловая Е. М., Голубева В. И., Шестаков В. И., Калманович И. К. Хим. пром., 1976 г., № 1, 29–30.

Изложены результаты исследований по разработке технологии получения двойного суперфосфата с добавками бора и молибдена. На основании полученных результатов выданы рекомендации для внедрения процесса получения продукта в промышленность. Таблицы – 1, лит. ссылок – 2.

## РЕФЕРАТЫ

УДК 661.634.2

**ПОЛУЧЕНИЕ КОНЦЕНТРИРОВАННЫХ ФОСФОРНОКИСЛЫХ РАСТВОРОВ.** Орехов И. И., Свердлова В. П., Слободкина Г. Л., Кофылова Т. Б. Хим. пром., 1976 г., № 1, 30–31.

Приведены результаты лабораторного исследования по выявлению оптимальных условий проведения процесса получения концентрированных фосфорнокислых растворов, основанного на разложении фосфатного сырья серной кислотой в присутствии раствора разбавления, частично нейтрализованного аммиаком. Таблицы – 1, лит. ссылок – 6.

УДК 661.241:66.011

**ПРОЕКТИРОВАНИЕ ХИМИКО-ТЕХНОЛОГИЧЕСКИХ СИСТЕМ И УПРАВЛЕНИЕ ИМИ НА ПРИМЕРЕ РЕАКТОРНОГО БЛОКА СЕРНОКИСЛОТНОГО ПРОИЗВОДСТВА.** Карапов В. В., Плютто В. П., Золотарев В. В., Шалговиц А. Хим. пром., 1976 г., № 1, 31–33.

Показано, что уже на стадии проектирования контактного узла необходимо предусматривать возможность осуществления оптимальных режимов, которые должны определяться с помощью системы оптимального управления. На основании регрессионных уравнений, полученных по детерминированной модели, разработан алгоритм оптимального управления реакторным блоком, позволяющий повысить общую степень контактирования на 1% при отсутствии ограничений на оптимальное управление. Таблицы – 1, лит. ссылок – 8.

УДК 661.525

**ПЛАНИРОВАНИЕ ПРОМЫШЛЕННОГО ЭКСПЕРИМЕНТА В ЦЕХЕ АММИАЧНОЙ СЕЛИТРЫ.** Вольберг А. А., Широков С. Г., Адлер Ю. П., Киязов А. А., Гавриленко В. С., Дергачев Б. А., Азельбя И. Я., Лаврова М. П. Хим. пром., 1976 г., № 1, 33–34.

В цехе аммиачной селитры Новомосковского химического комбината проведено эксперимент на грануляционной башне с центробежными грануляторами конструкции Асеева. В качестве матрицы планирования использовали стандартный план 2<sup>2</sup> с одной центральной точкой. Экспериментальные данные были обработаны на ЭВМ и получены уравнения для частных и обобщенного критериев оптимизации. Таблицы – 1, иллюстраций – 1, лит. ссылок – 11.

УДК (661.321+661.311):661.862.222

**ПОИСК ОПТИМАЛЬНОГО ТЕХНОЛОГИЧЕСКОГО РЕЖИМА В ПРОИЗВОДСТВЕ КАЛЬЦИНИРОВАННОЙ СОДЫ И ПОТАША ИЗ НЕФЕЛИНОВ.** Кричевская Е. Л., Гогунский В. Д., Варламов М. Л., Романец А. С., Трунов М. П. Хим. пром., 1976, № 1, 35–39.

На основе математической модели стадии процесса рассчитано число степеней свободы системы и произведен выбор независимых параметров технологического режима содового цеха глиноземных комбинатов. Исследована чувствительность целевой функции управления к изменению независимых параметров. Показано, что целевая функция является многоэкстремальной и имеет разрывы, обусловленные изменением сортов выпускаемой продукции. Разработана методика поиска глобального экстремума. Таблицы – 2, иллюстраций – 9, лит. ссылок – 9.

УДК 66.074.35

**АДСОРБИОННЫЙ МЕТОД РАЗДЕЛЕНИЯ ВОЗДУХА.** Шумяцкий Ю. И., Крылов И. Д., Торочешников Н. С., Ермаков В. И., Каменчук И. Н. Хим. пром., 1976 г., № 1, 39–41.

Представлены результаты экспериментального исследования разделения воздуха при комнатной температуре адсорбционным методом, основанным на регенерации адсорбента (цеолита) путем продувки частиц обогащенного потока. Результаты опытов обобщены в виде уравнения регрессии, связывающей концентрацию кислорода в продукте со значениями основных параметров: продолжительностью стадий, скоростью потоков, временем пребывания, давлением. Приведены данные экономического анализа. Таблицы – 2, лит. ссылок – 5.